

1 Red

A continuación se presenta un esquemático de la red objeto de estudio. En este caso particular se consideran dos alimentadores. Cada uno de ellos cuenta con tres generadores.

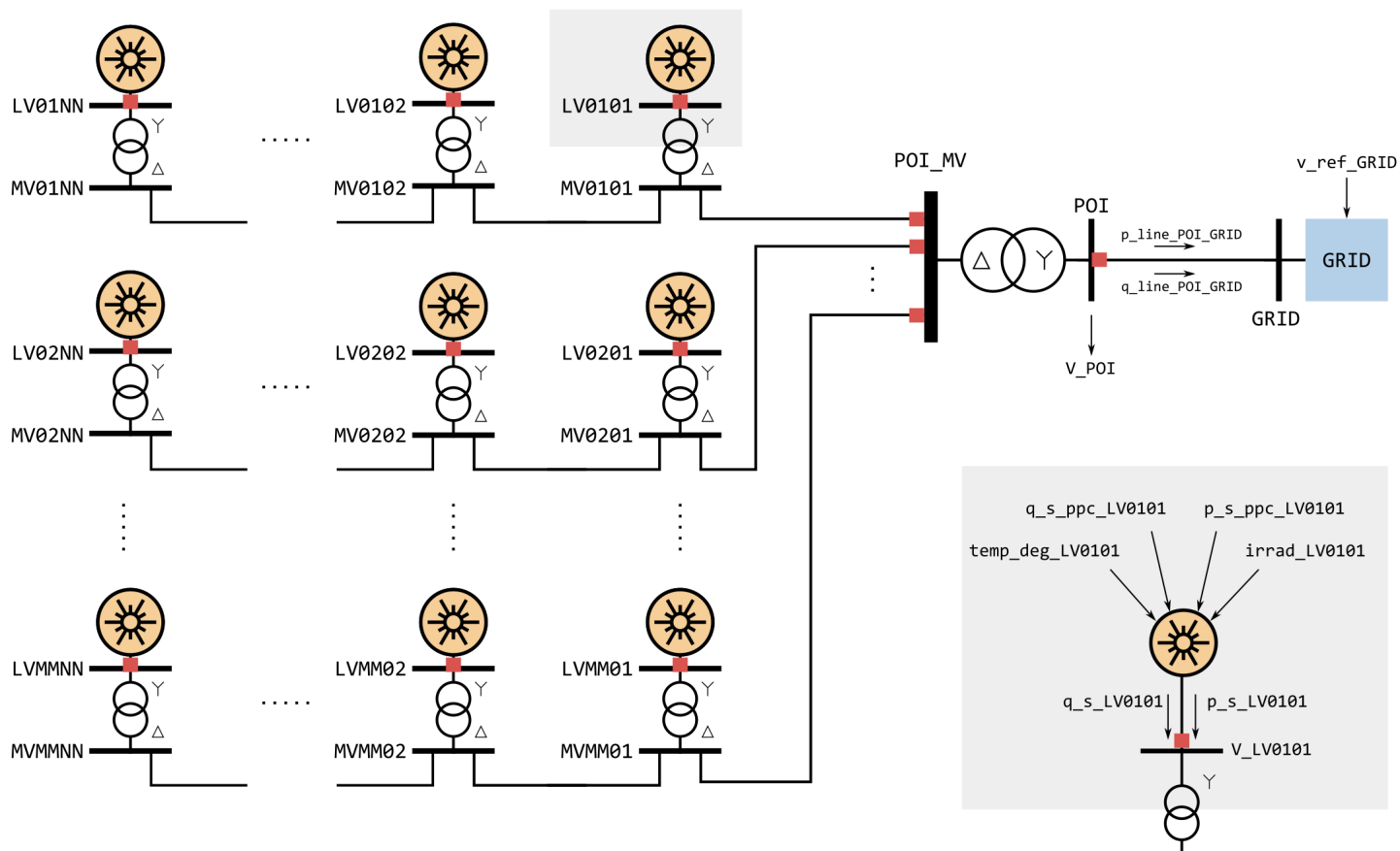


Figure 1: Esquemático de la red.

2 Ataque en P_LV0101

Se ataca el valor de P_LV0101 multiplicando su medida por 1.5.
WLS descarta ['P_LV0101']

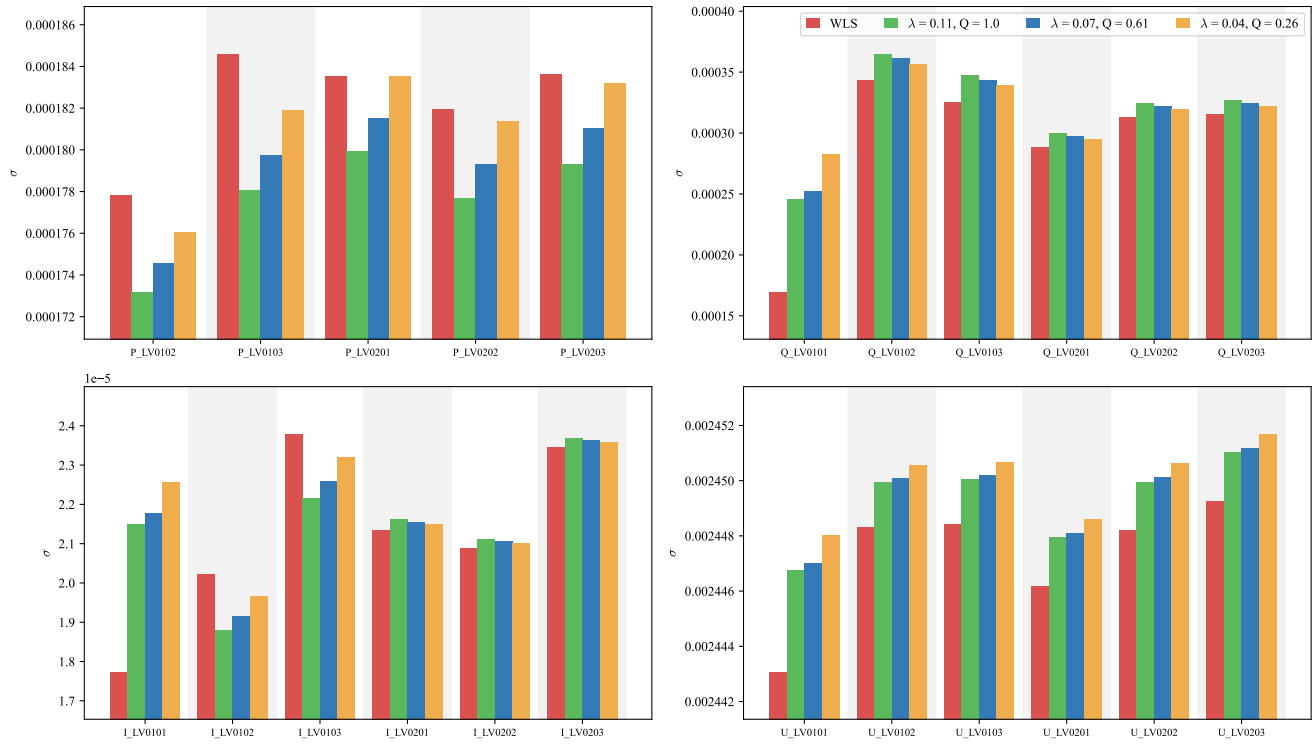


Figure 2: Comparativa entre las desviaciones típicas de las soluciones para WLS y Huber (con diferentes valores de lambda). Magnitudes medidas en baja tensión.

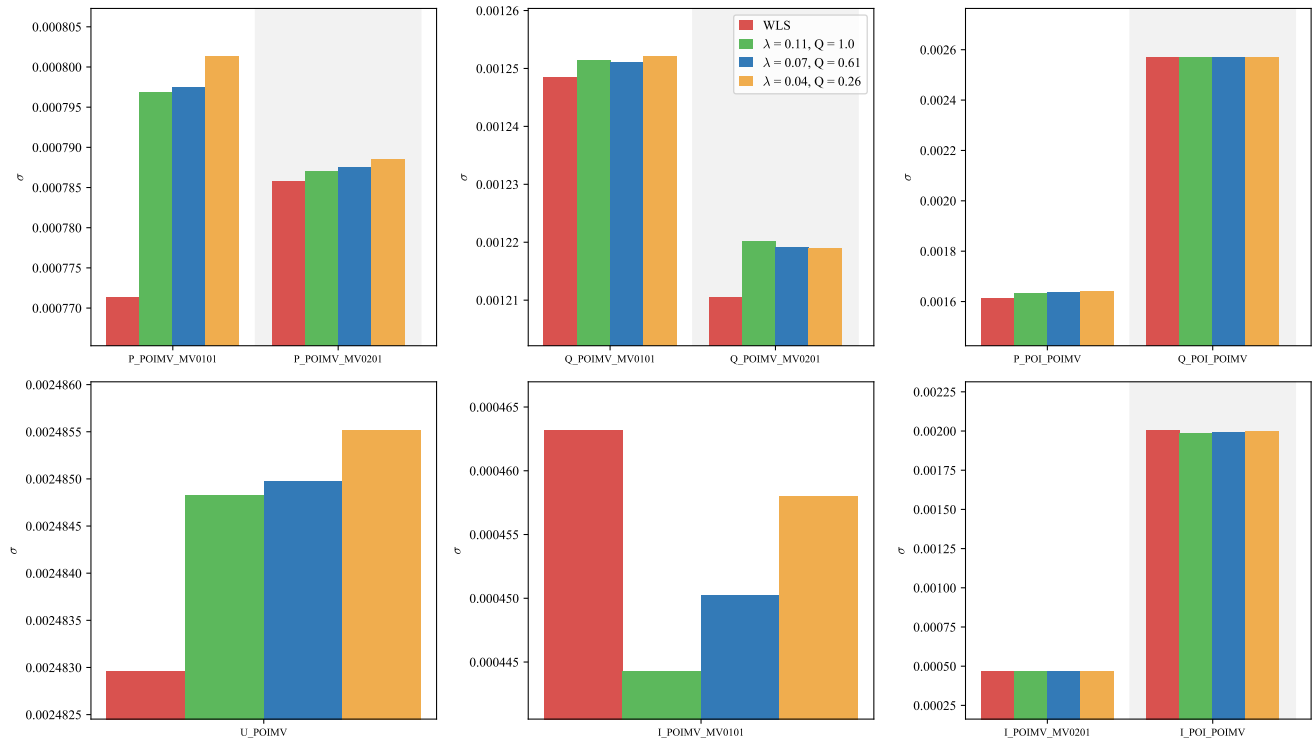


Figure 3: Comparativa entre las desviaciones típicas de las soluciones para WLS y Huber (con diferentes valores de lambda). Magnitudes medidas en media tensión.

3 Ataque en P_LV0102

Se ataca el valor de P_LV0102 multiplicando su medida por 1.5.
WLS descarta ['P_LV0102']

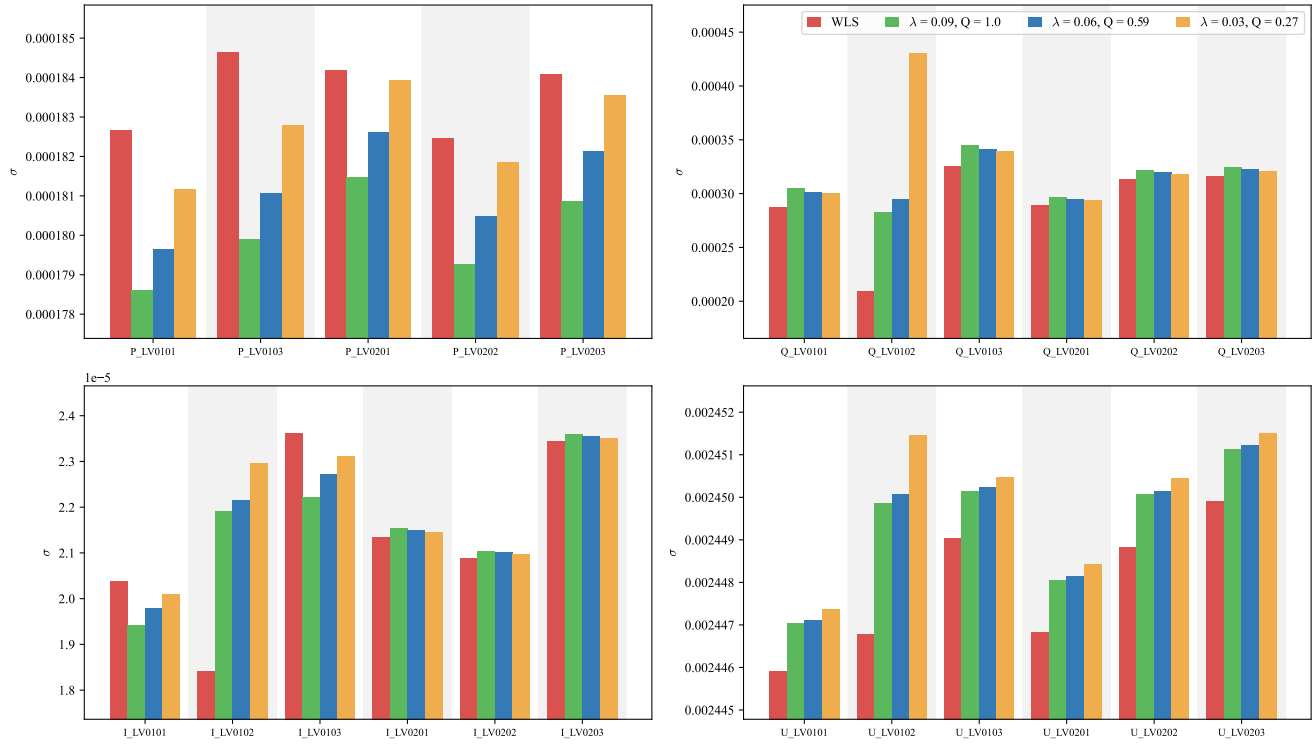


Figure 4: Comparativa entre las desviaciones típicas de las soluciones para WLS y Huber (con diferentes valores de lambda). Magnitudes medidas en baja tensión.

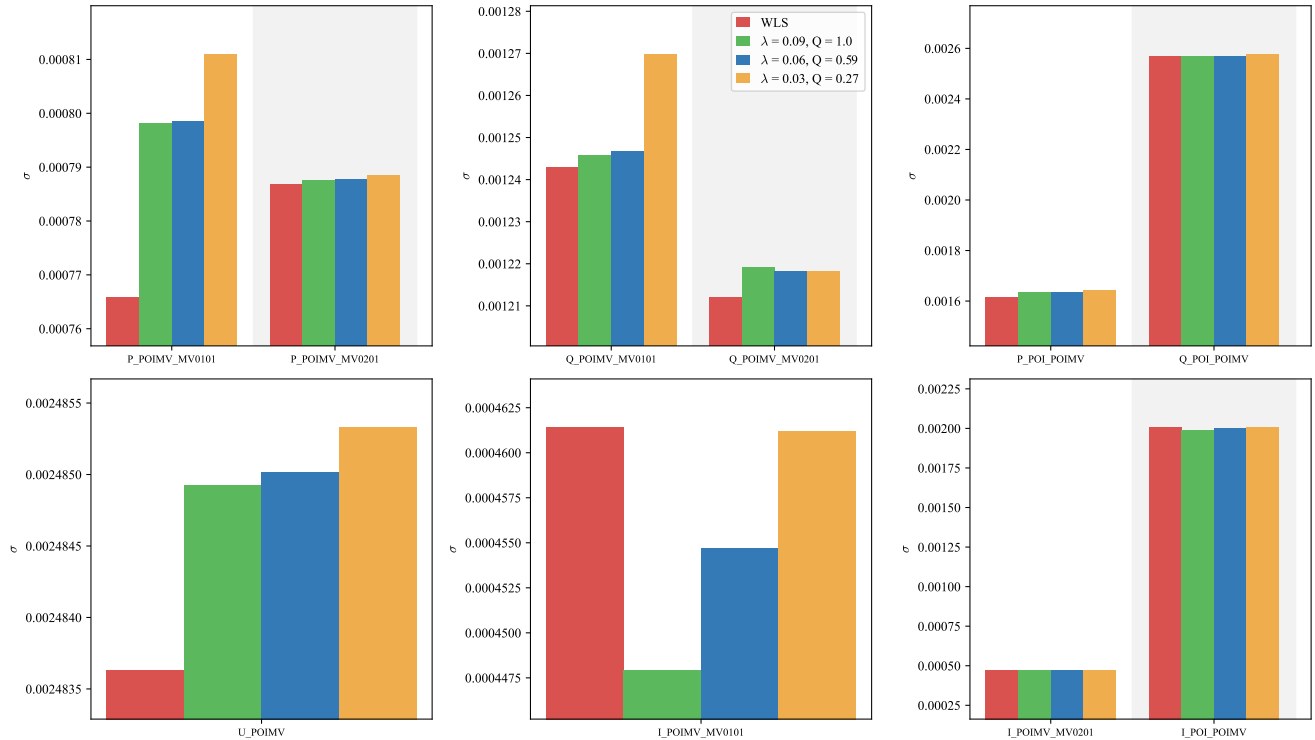


Figure 5: Comparativa entre las desviaciones típicas de las soluciones para WLS y Huber (con diferentes valores de lambda). Magnitudes medidas en media tensión.

4 Ataque en P_LV0103

Se ataca el valor de P_LV0103 multiplicando su medida por 1.5.
WLS descarta ['P_LV0103']

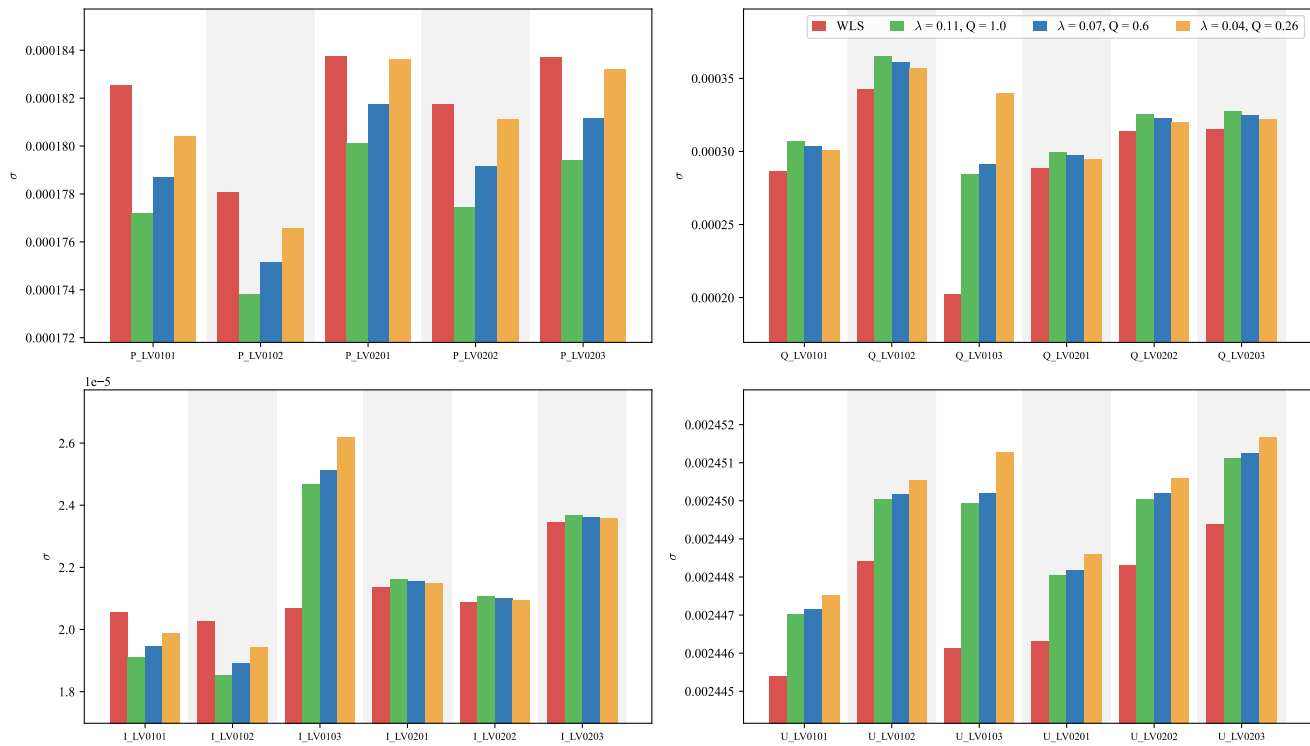


Figure 6: Comparativa entre las desviaciones típicas de las soluciones para WLS y Huber (con diferentes valores de lambda). Magnitudes medidas en baja tensión.

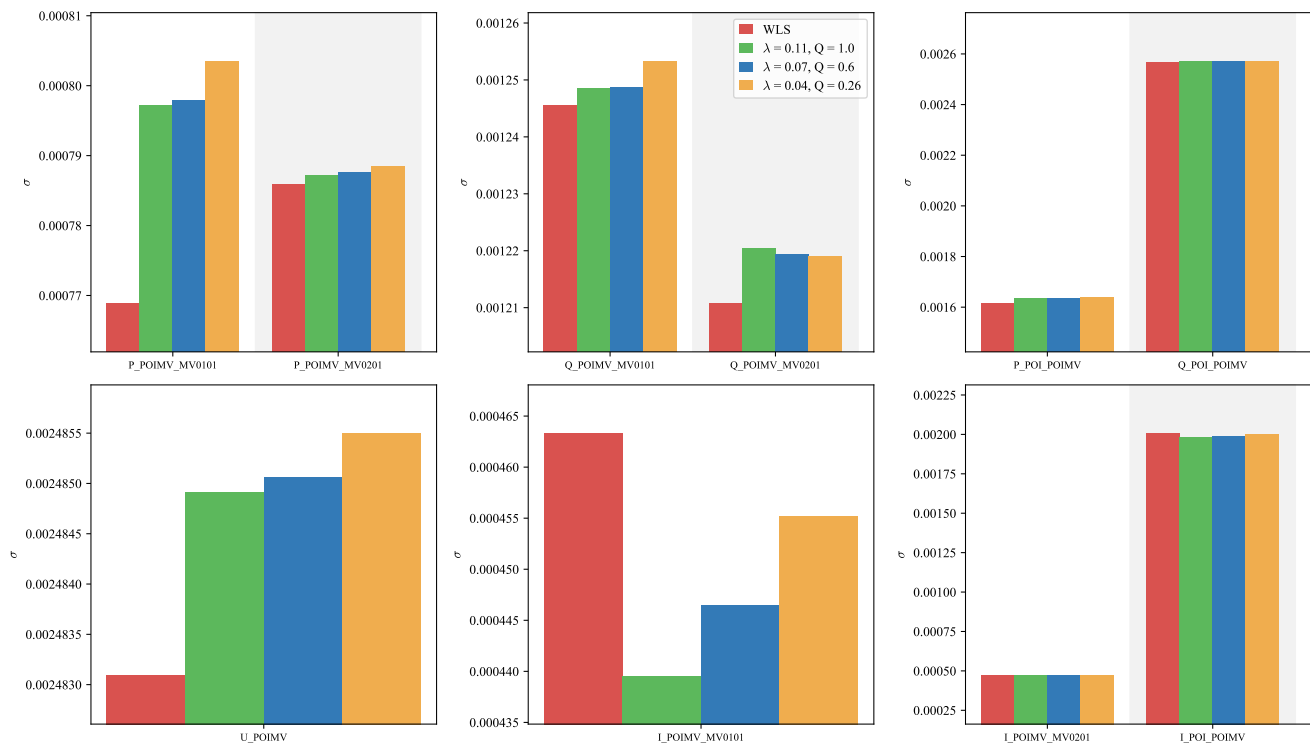


Figure 7: Comparativa entre las desviaciones típicas de las soluciones para WLS y Huber (con diferentes valores de lambda). Magnitudes medidas en media tensión.

5 Ataque en P_LV0201

Se ataca el valor de P_LV0201 multiplicando su medida por 1.5.
WLS descarta ['P_LV0201']

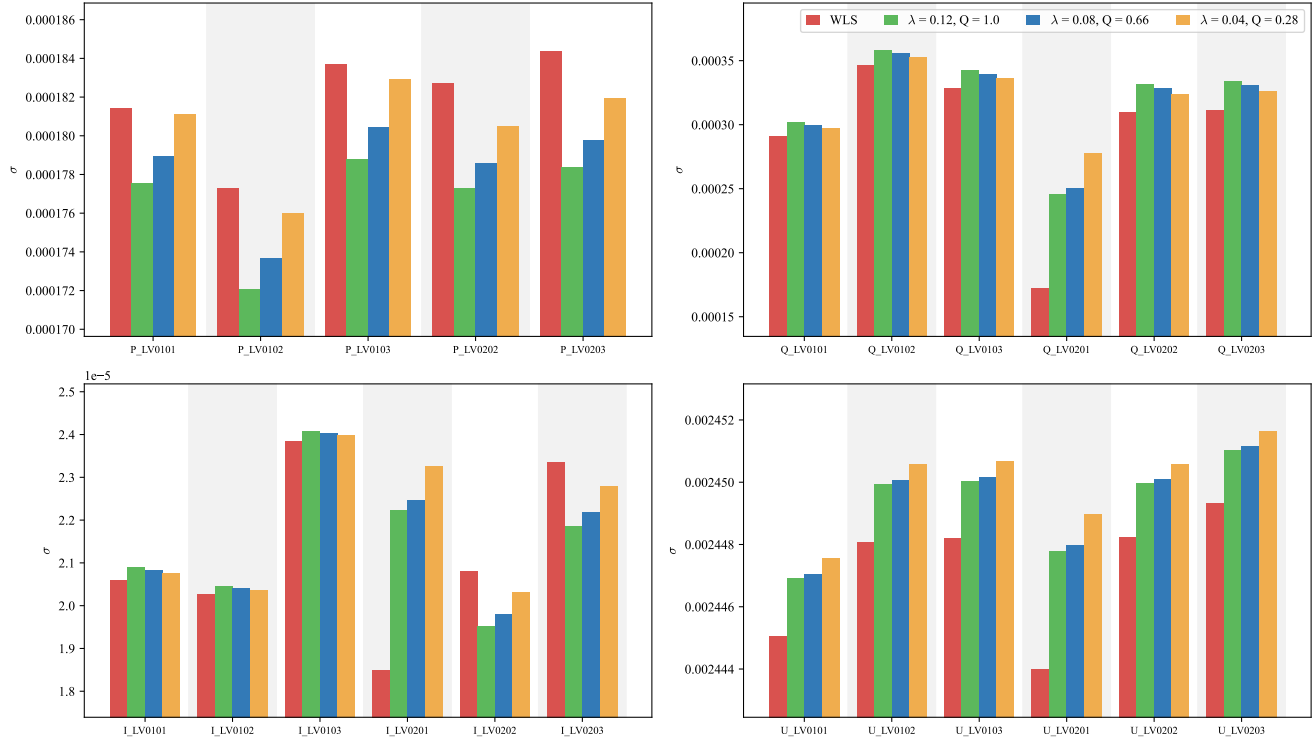


Figure 8: Comparativa entre las desviaciones típicas de las soluciones para WLS y Huber (con diferentes valores de lambda). Magnitudes medidas en baja tensión.

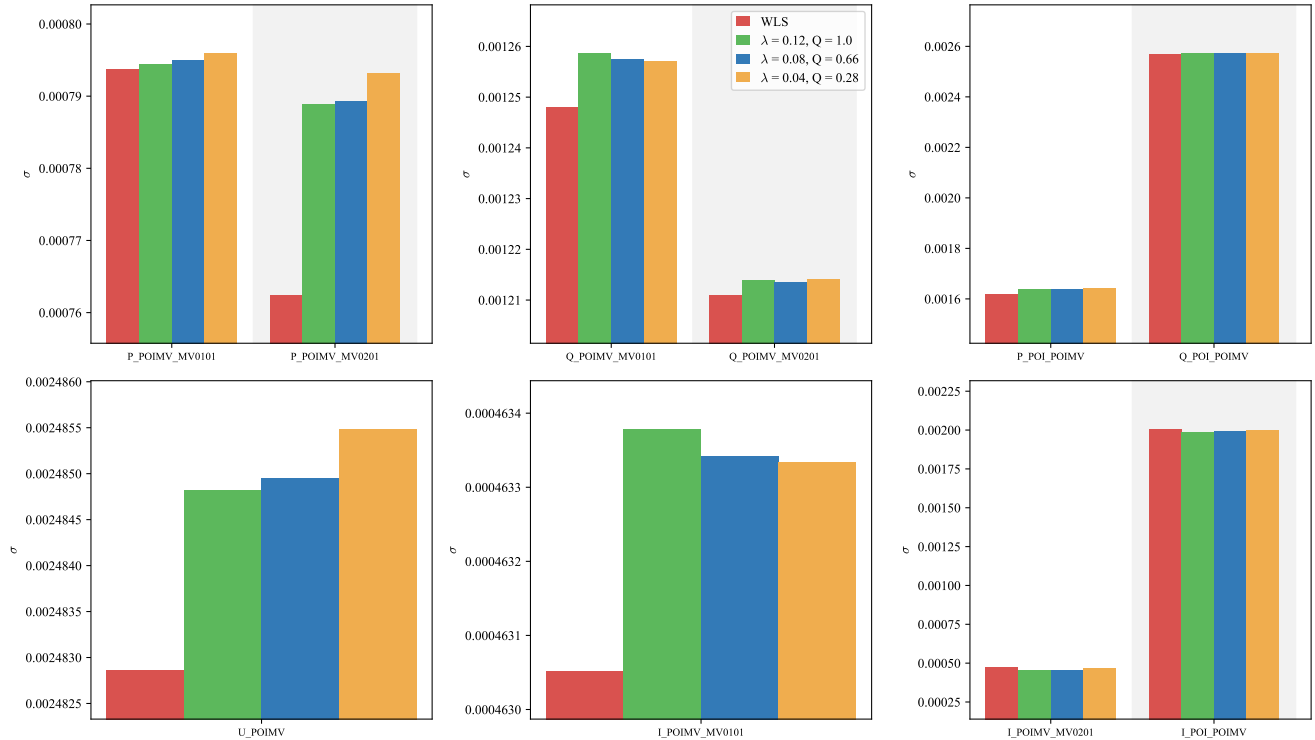


Figure 9: Comparativa entre las desviaciones típicas de las soluciones para WLS y Huber (con diferentes valores de lambda). Magnitudes medidas en media tensión.

6 Ataque en P_LV0202

Se ataca el valor de P_LV0202 multiplicando su medida por 1.5.
WLS descarta ['P_LV0202']

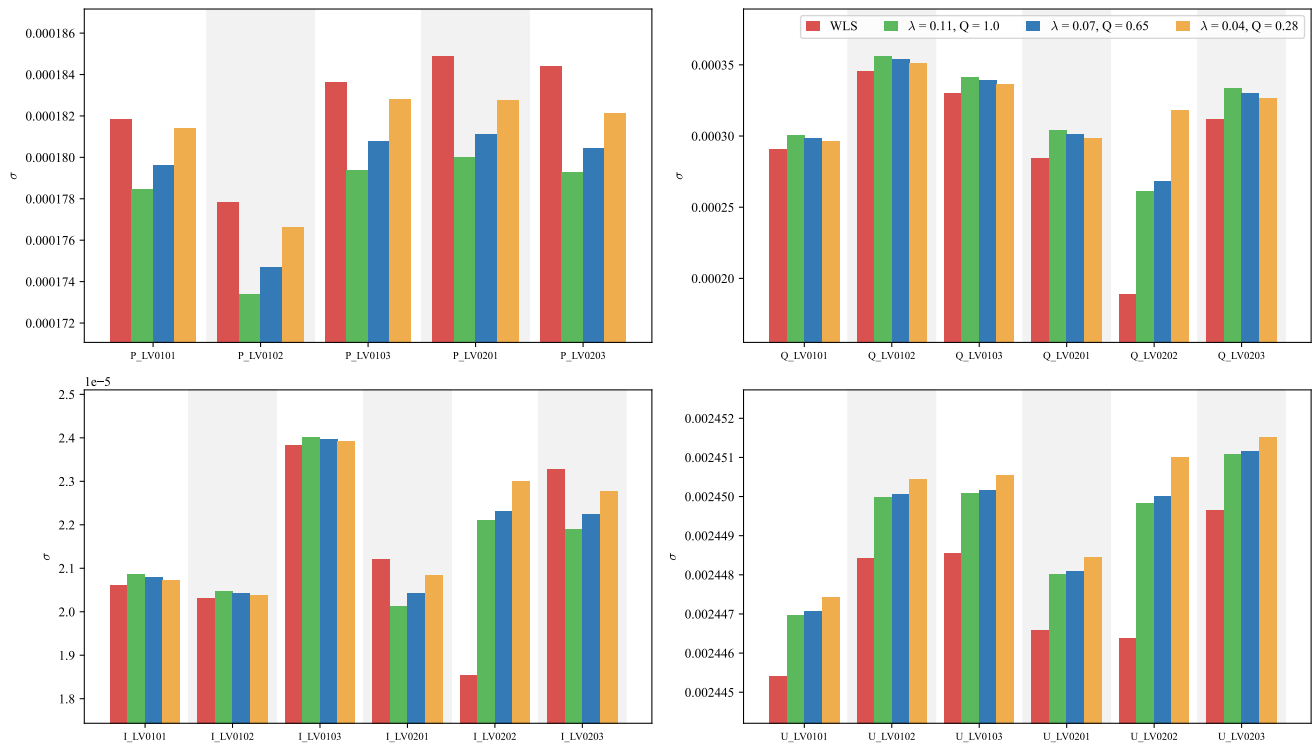


Figure 10: Comparativa entre las desviaciones típicas de las soluciones para WLS y Huber (con diferentes valores de lambda). Magnitudes medidas en baja tensión.

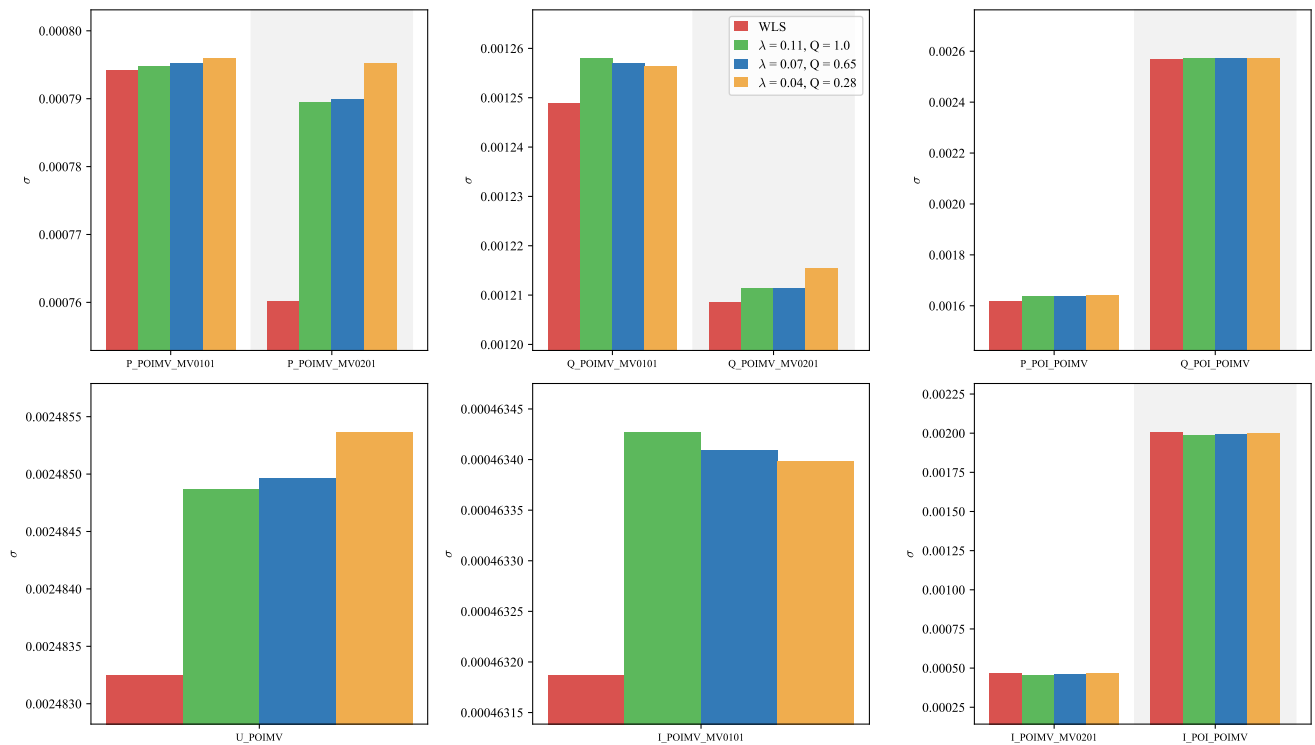


Figure 11: Comparativa entre las desviaciones típicas de las soluciones para WLS y Huber (con diferentes valores de lambda). Magnitudes medidas en media tensión.

7 Ataque en P_LV0203

Se ataca el valor de P_LV0203 multiplicando su medida por 1.5.
WLS descarta ['P_LV0203']

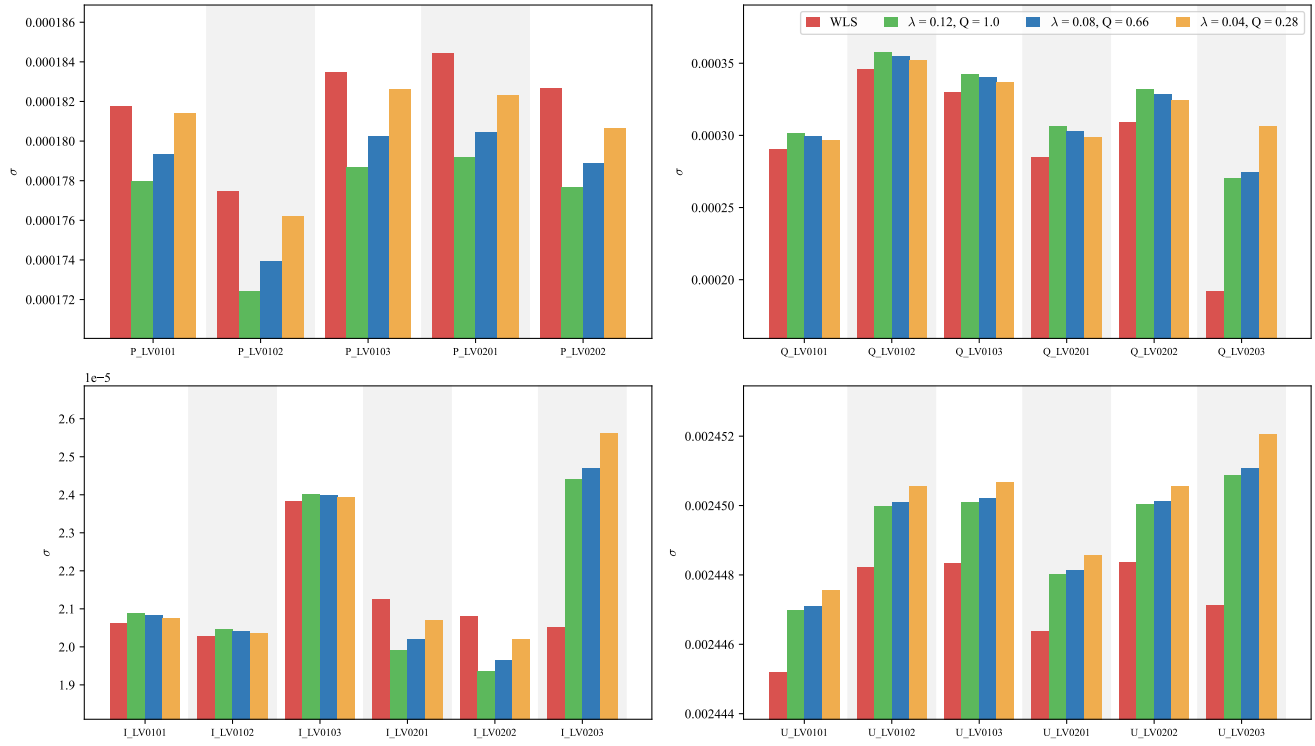


Figure 12: Comparativa entre las desviaciones típicas de las soluciones para WLS y Huber (con diferentes valores de lambda). Magnitudes medidas en baja tensión.

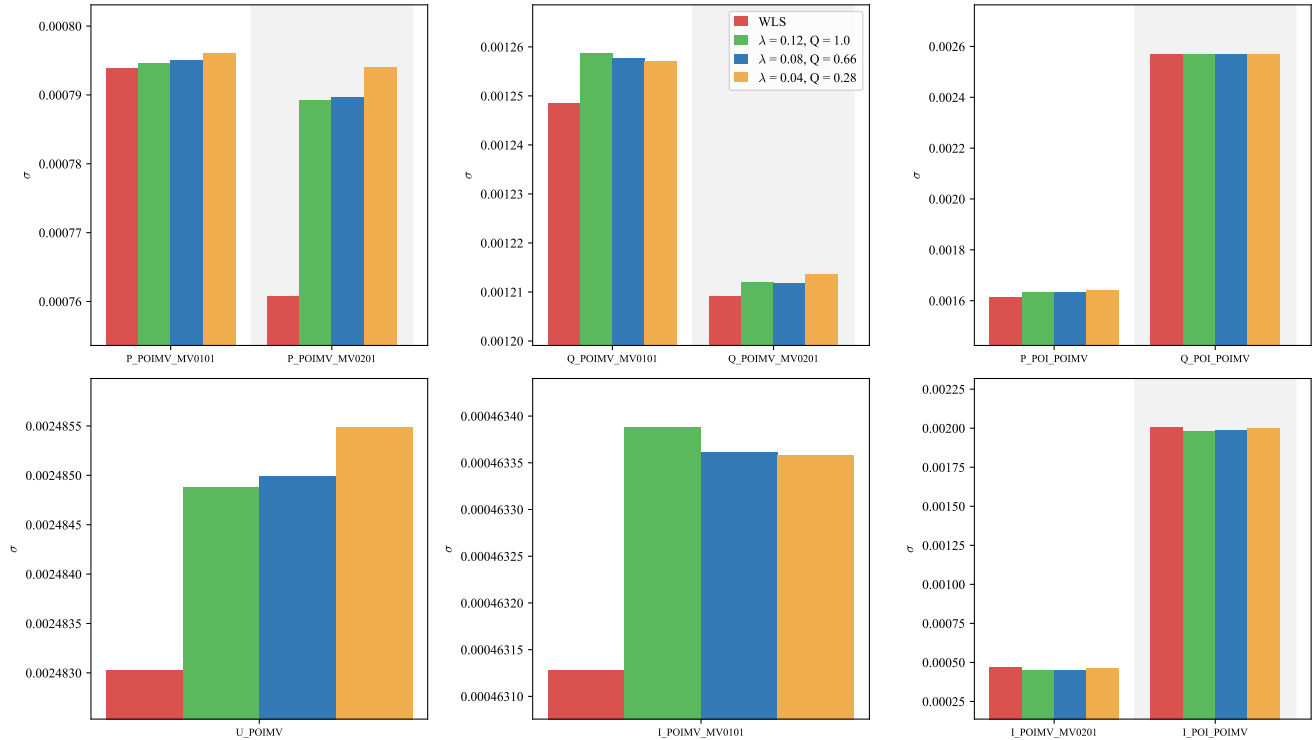


Figure 13: Comparativa entre las desviaciones típicas de las soluciones para WLS y Huber (con diferentes valores de lambda). Magnitudes medidas en media tensión.

8 Ataque en Q_LV0101

Se ataca el valor de Q_LV0101 cambiandolo por un valor de 0.5.
WLS descarta ['Q_LV0101']

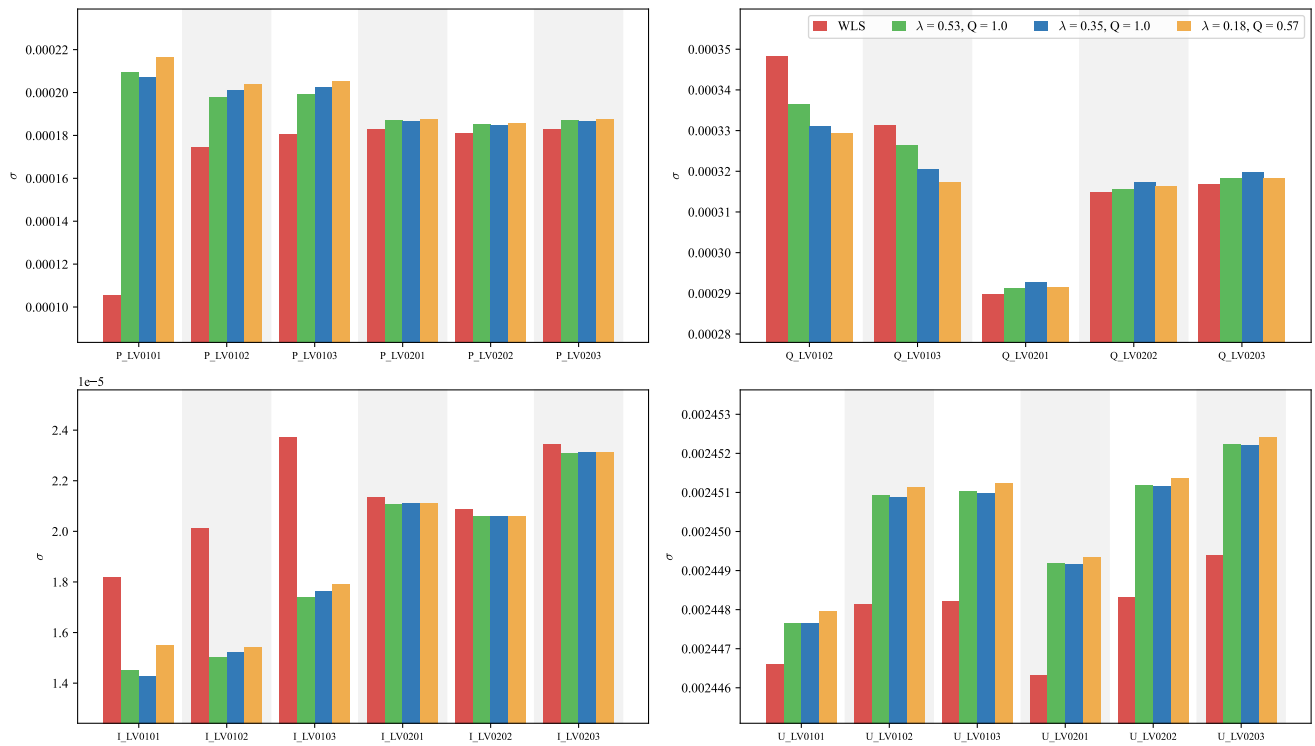


Figure 14: Comparativa entre las desviaciones típicas de las soluciones para WLS y Huber (con diferentes valores de lambda). Magnitudes medidas en baja tensión.

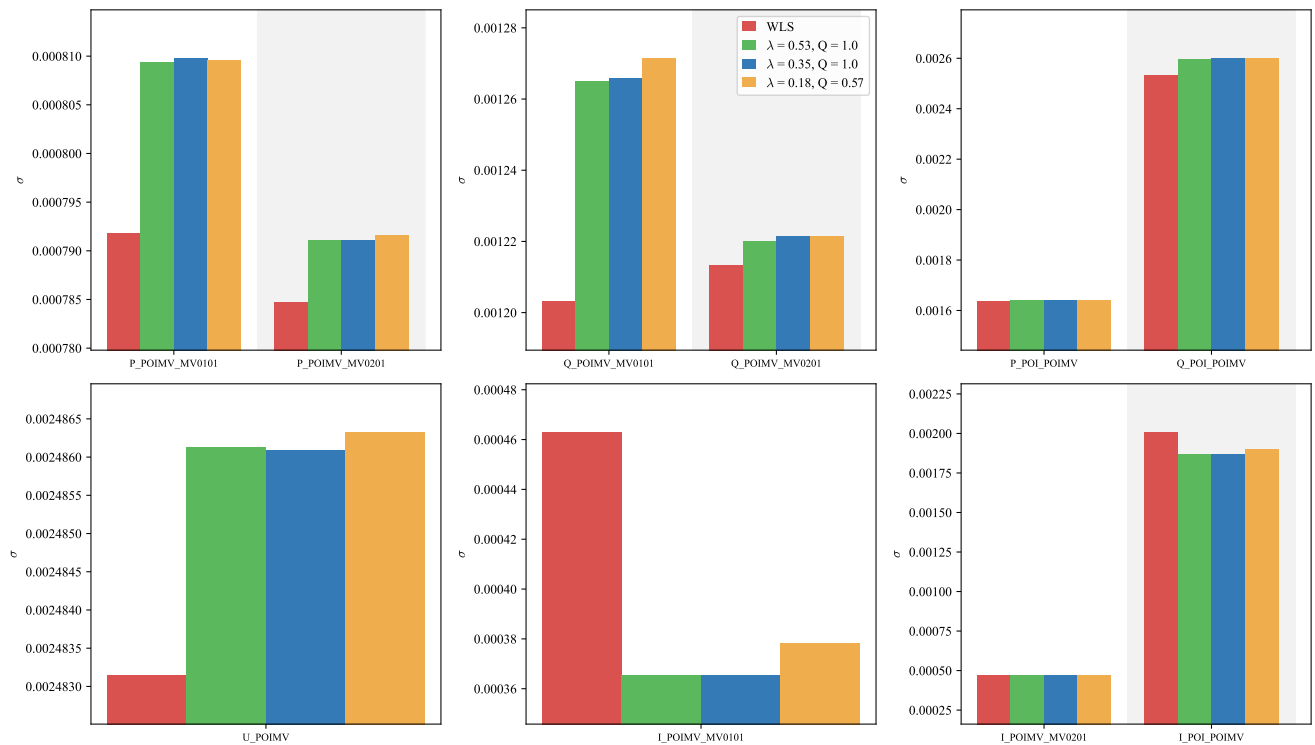


Figure 15: Comparativa entre las desviaciones típicas de las soluciones para WLS y Huber (con diferentes valores de lambda). Magnitudes medidas en media tensión.

9 Ataque en Q_LV0102

Se ataca el valor de Q_LV0102 cambiandolo por un valor de 0.5.
WLS descarta ['Q_LV0102']

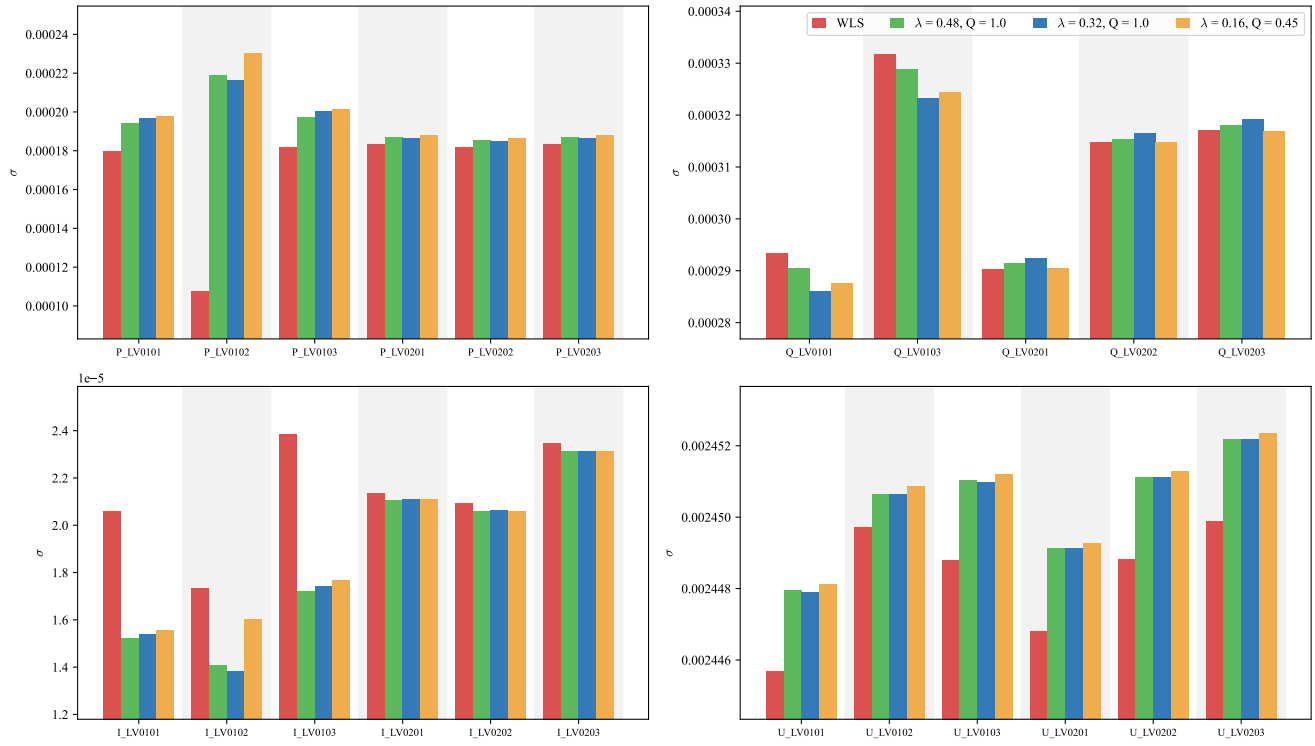


Figure 16: Comparativa entre las desviaciones típicas de las soluciones para WLS y Huber (con diferentes valores de lambda). Magnitudes medidas en baja tensión.

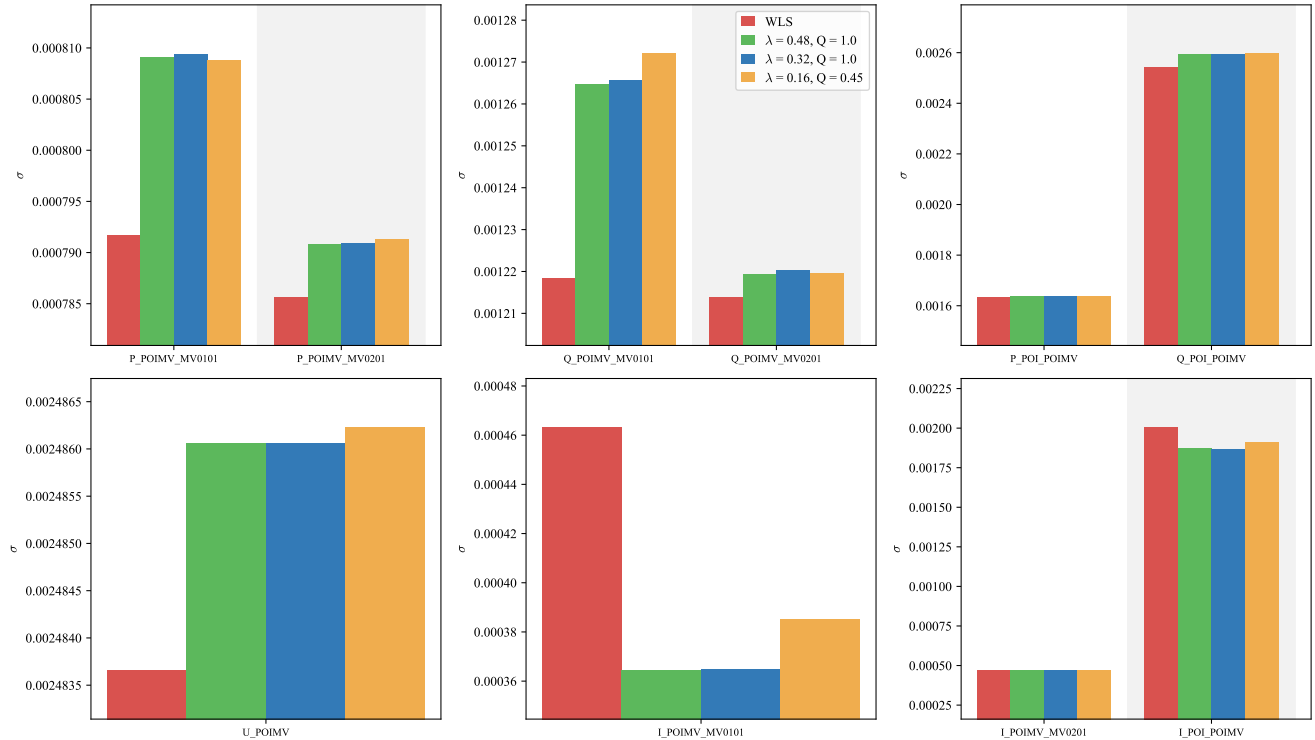


Figure 17: Comparativa entre las desviaciones típicas de las soluciones para WLS y Huber (con diferentes valores de lambda). Magnitudes medidas en media tensión.

10 Ataque en Q_LV0103

Se ataca el valor de Q_LV0103 cambiandolo por un valor de 0.5.

WLS descarta ['Q_LV0103']

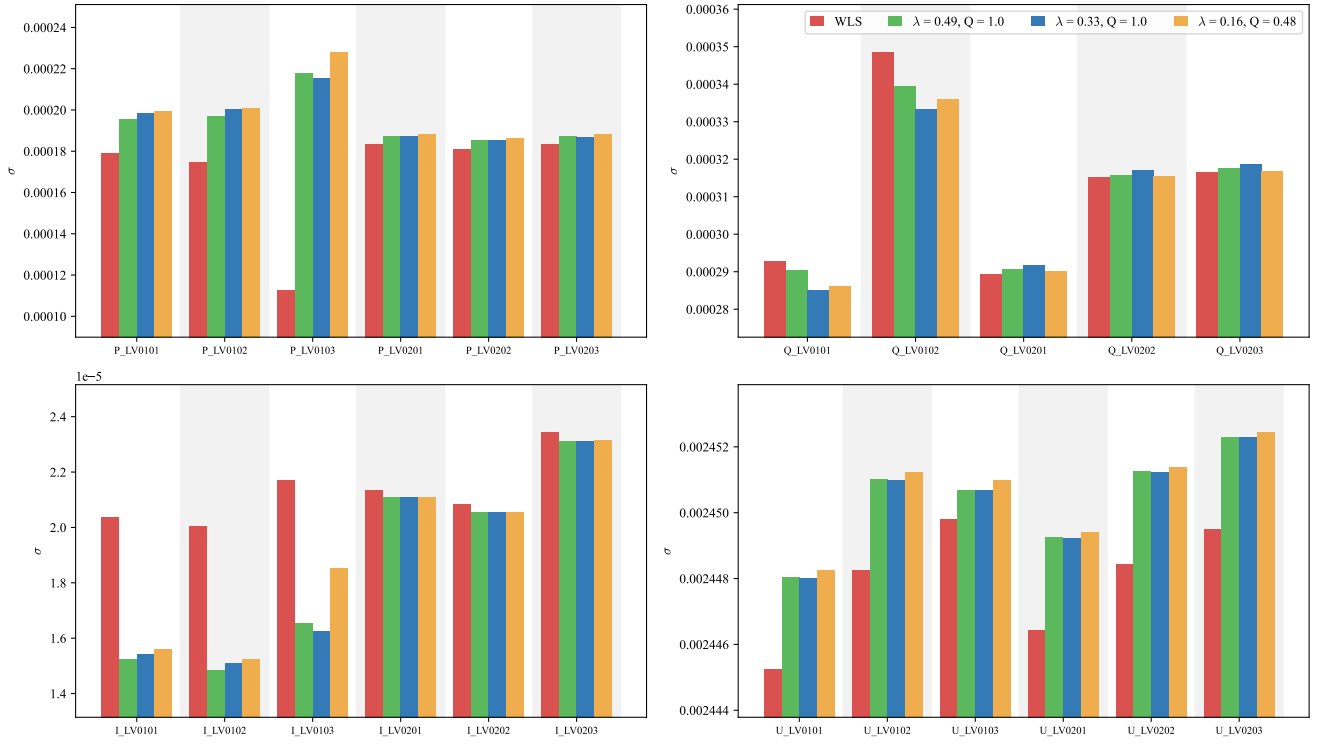


Figure 18: Comparativa entre las desviaciones típicas de las soluciones para WLS y Huber (con diferentes valores de lambda). Magnitudes medidas en baja tensión.

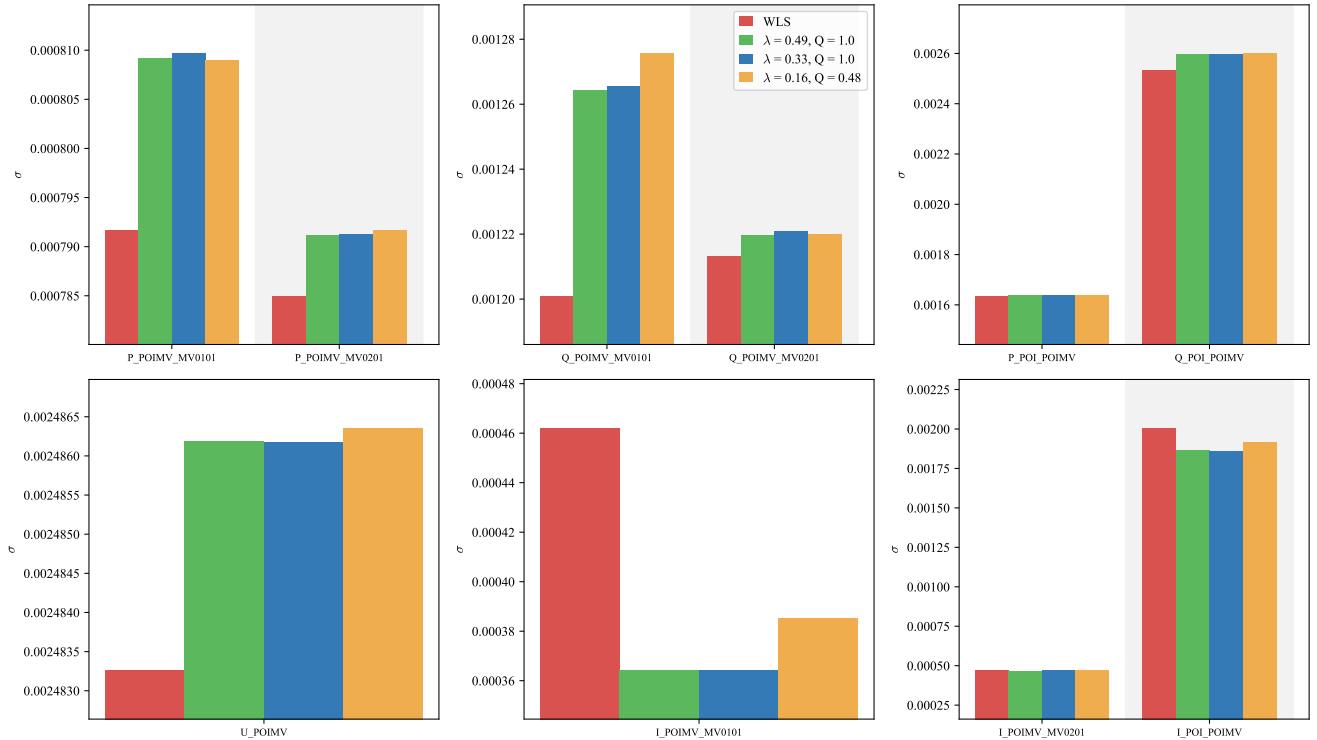


Figure 19: Comparativa entre las desviaciones típicas de las soluciones para WLS y Huber (con diferentes valores de lambda). Magnitudes medidas en media tensión.

11 Ataque en Q_LV0201

Se ataca el valor de Q_LV0201 cambiandolo por un valor de 0.5.

WLS descarta ['Q_LV0201']

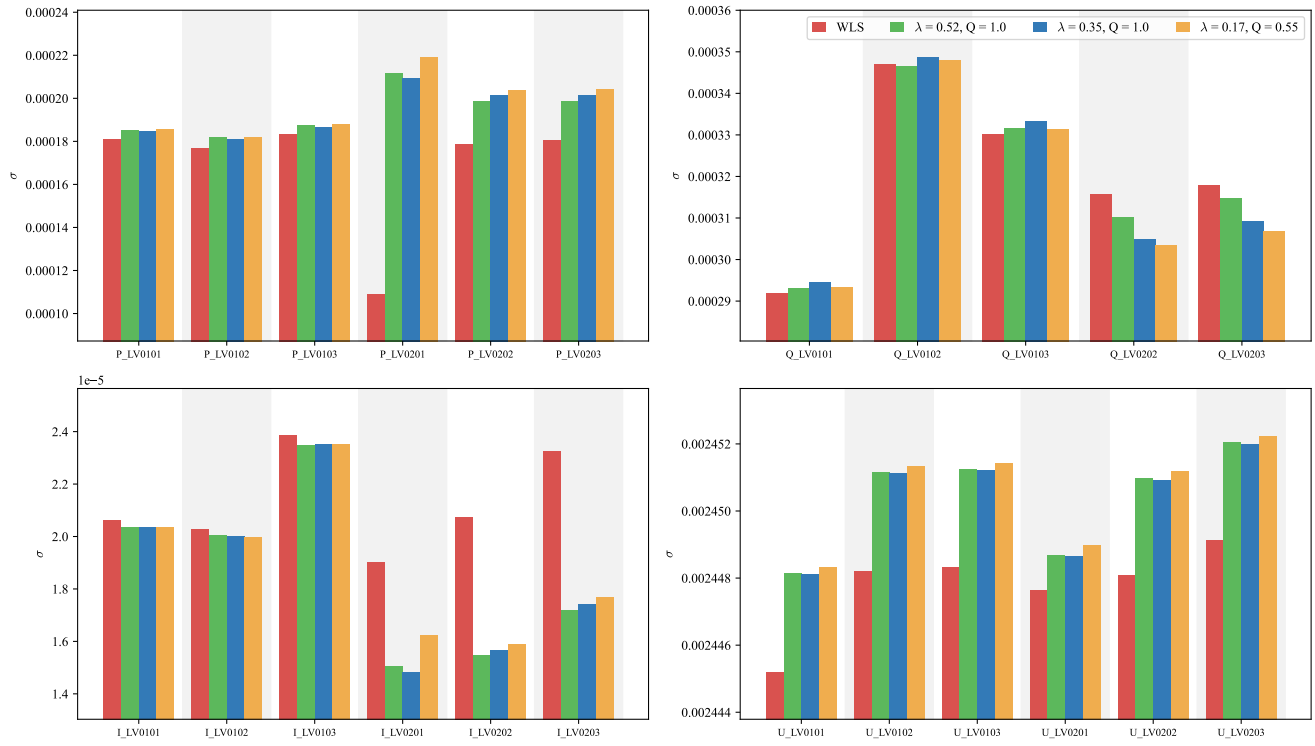


Figure 20: Comparativa entre las desviaciones típicas de las soluciones para WLS y Huber (con diferentes valores de lambda). Magnitudes medidas en baja tensión.

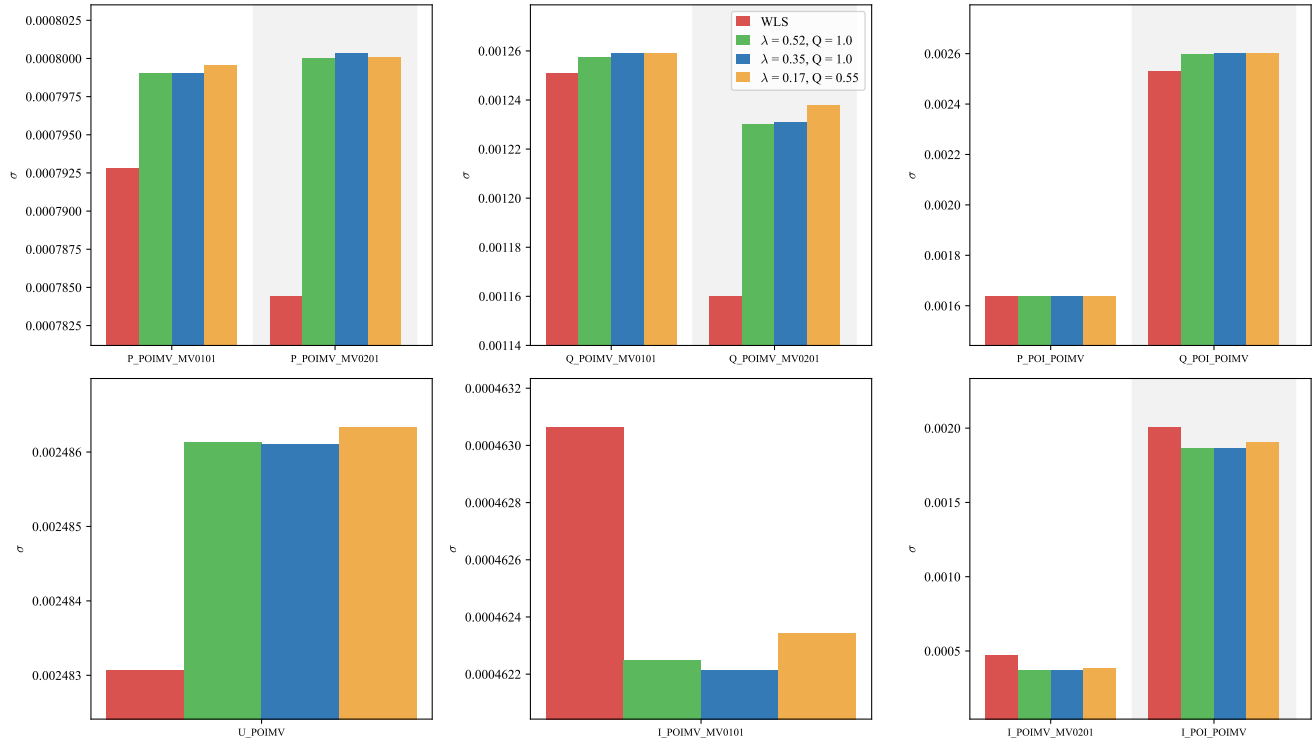


Figure 21: Comparativa entre las desviaciones típicas de las soluciones para WLS y Huber (con diferentes valores de lambda). Magnitudes medidas en media tensión.

12 Ataque en Q_LV0202

Se ataca el valor de Q_LV0202 cambiandolo por un valor de 0.5.
WLS descarta ['Q_LV0202']

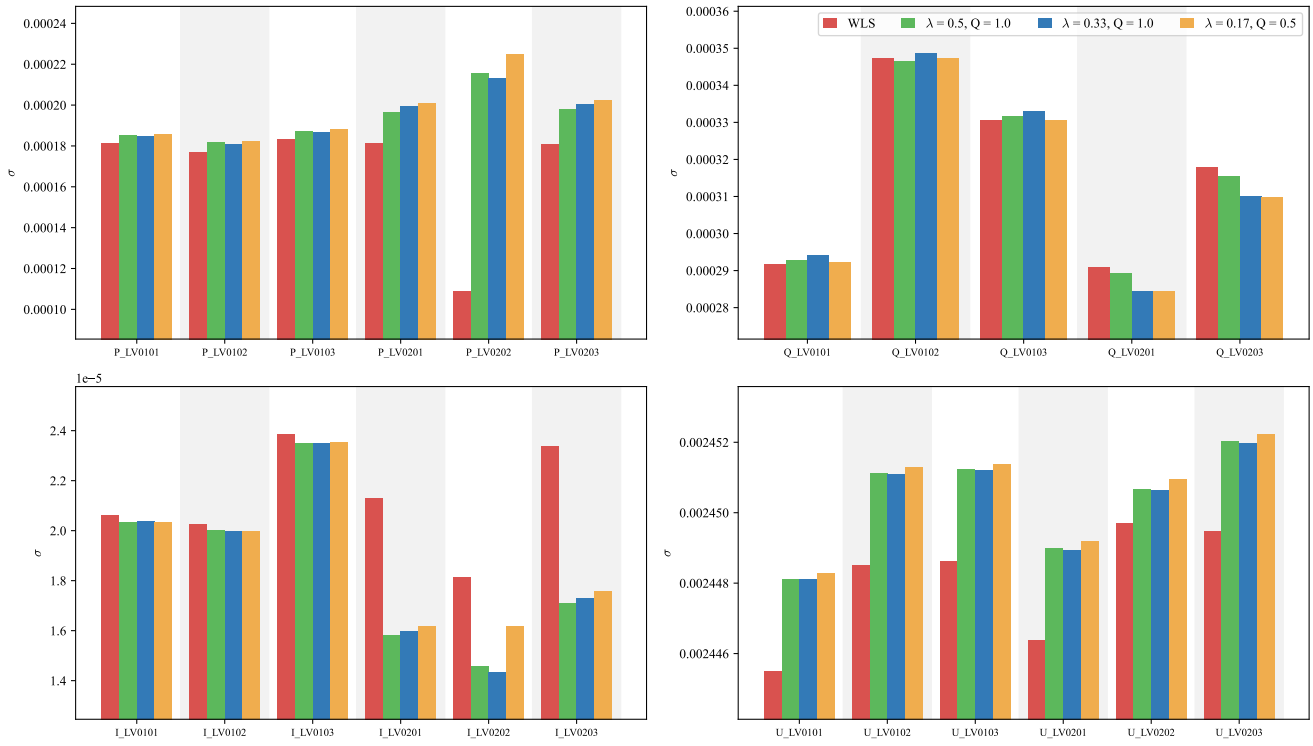


Figure 22: Comparativa entre las desviaciones típicas de las soluciones para WLS y Huber (con diferentes valores de lambda). Magnitudes medidas en baja tensión.

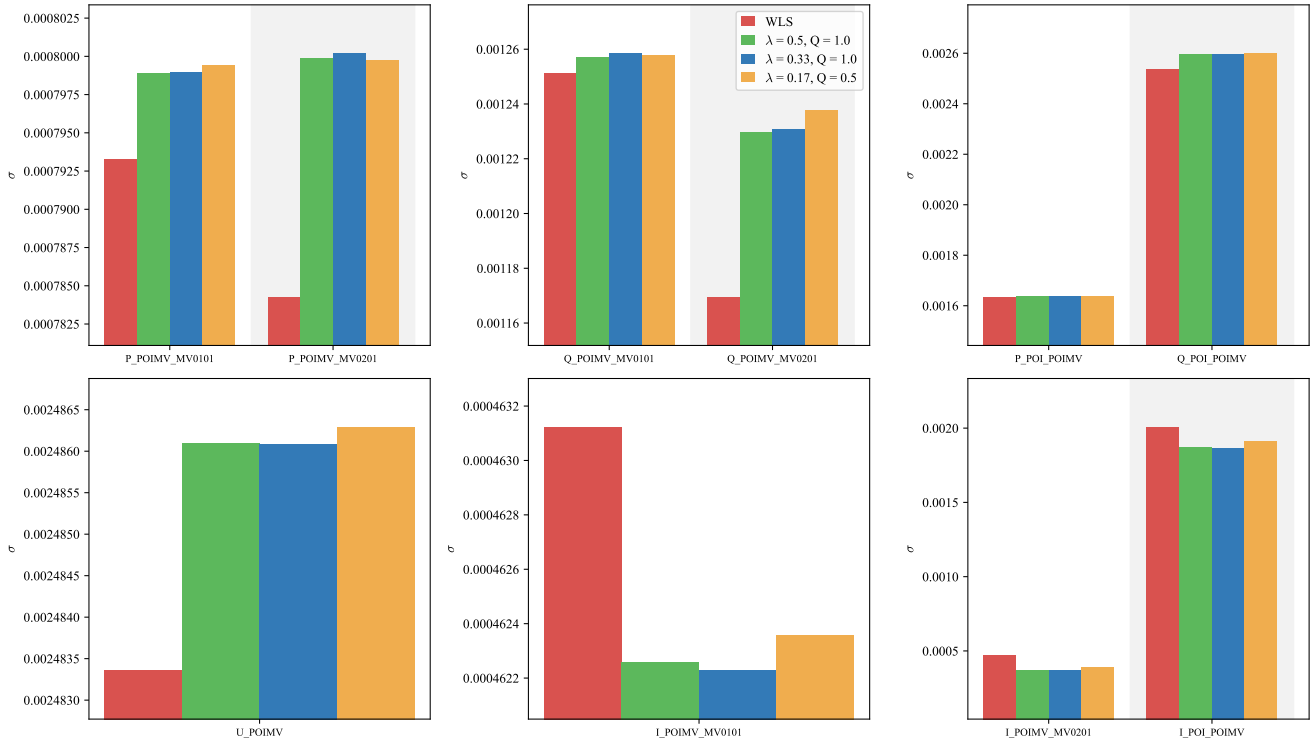


Figure 23: Comparativa entre las desviaciones típicas de las soluciones para WLS y Huber (con diferentes valores de lambda). Magnitudes medidas en media tensión.

13 Ataque en Q_LV0203

Se ataca el valor de Q_LV0203 cambiandolo por un valor de 0.5.
WLS descarta ['Q_LV0203']

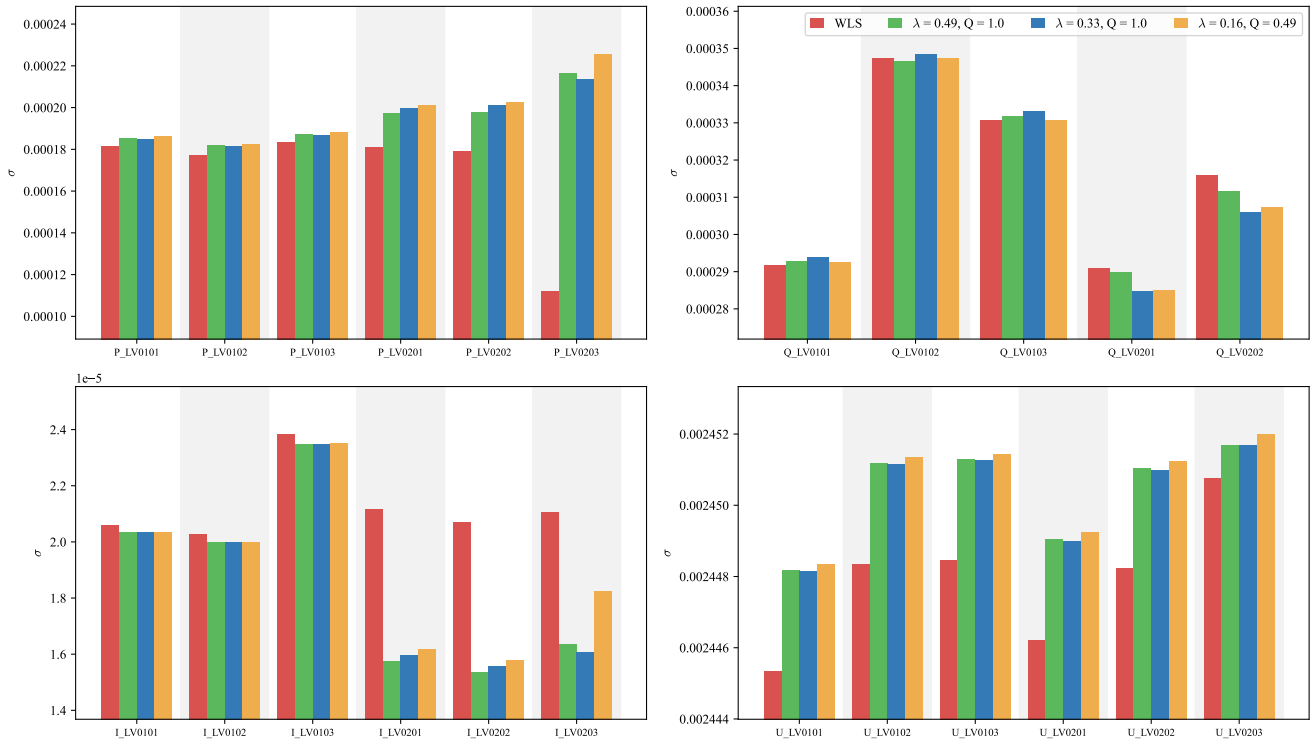


Figure 24: Comparativa entre las desviaciones típicas de las soluciones para WLS y Huber (con diferentes valores de lambda). Magnitudes medidas en baja tensión.

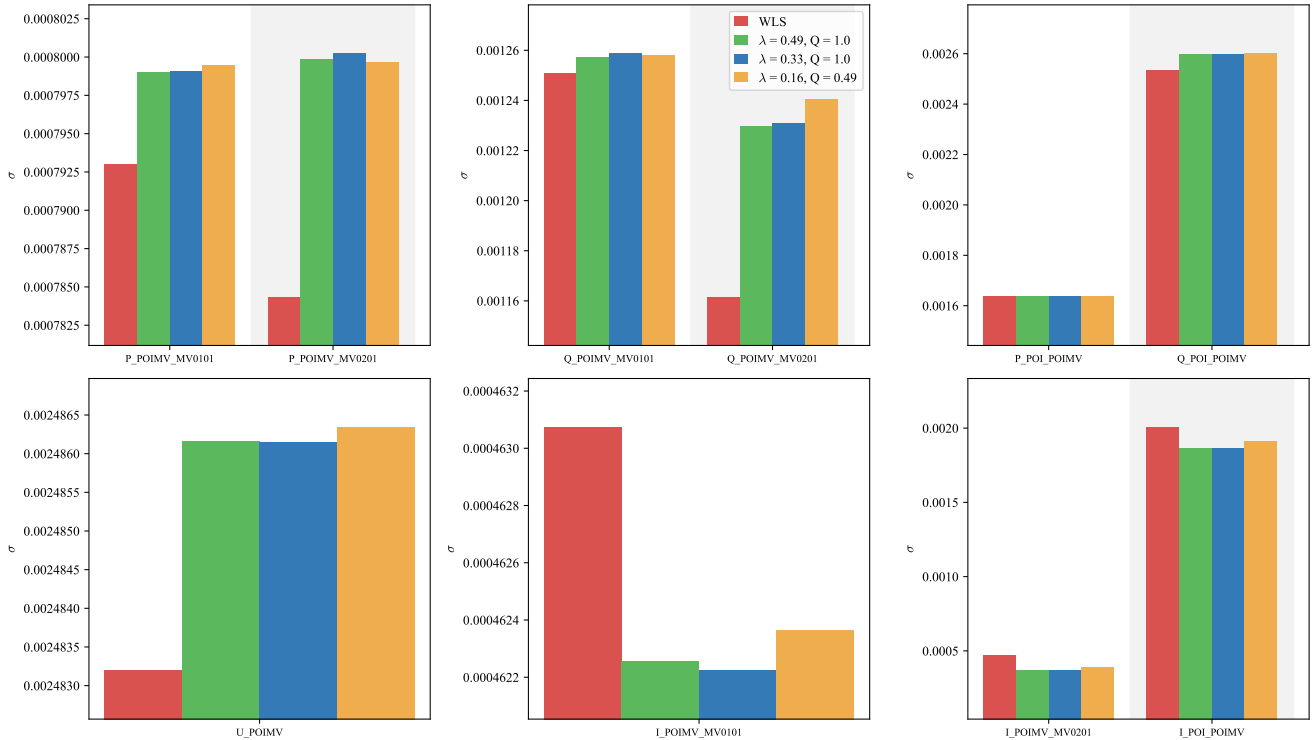


Figure 25: Comparativa entre las desviaciones típicas de las soluciones para WLS y Huber (con diferentes valores de lambda). Magnitudes medidas en media tensión.

14 Ataque en I_LV0101

Se ataca el valor de I_LV0101 multiplicando su medida por 1.5.

WLS descarta ['Q_LV0101', 'Q_POIMV_MV0101', 'I_POIMV_MV0101', 'I_POI_POIMV']

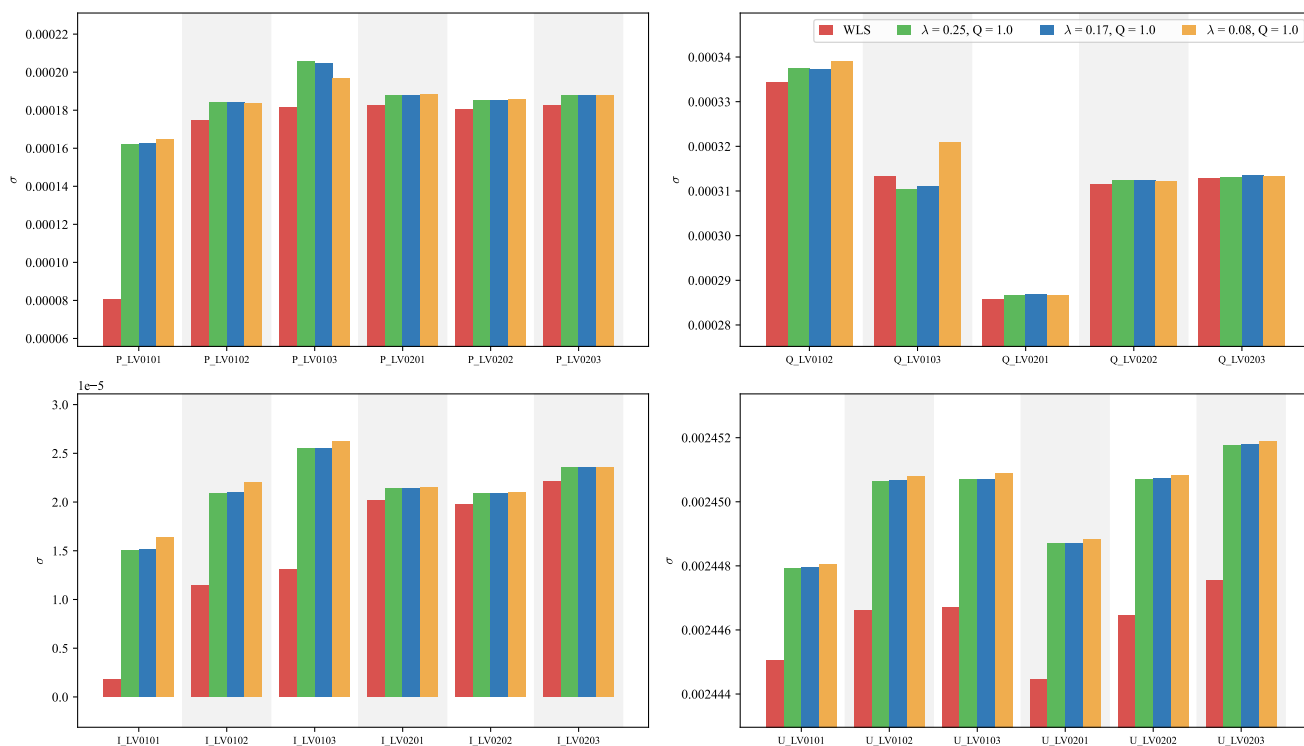


Figure 26: Comparativa entre las desviaciones típicas de las soluciones para WLS y Huber (con diferentes valores de lambda). Magnitudes medidas en baja tensión.

15 Ataque en I_LV0102

Se ataca el valor de I_LV0102 multiplicando su medida por 1.5.

WLS descarta ['Q_LV0102', 'I_POIMV_MV0101', 'I_POI_POIMV']

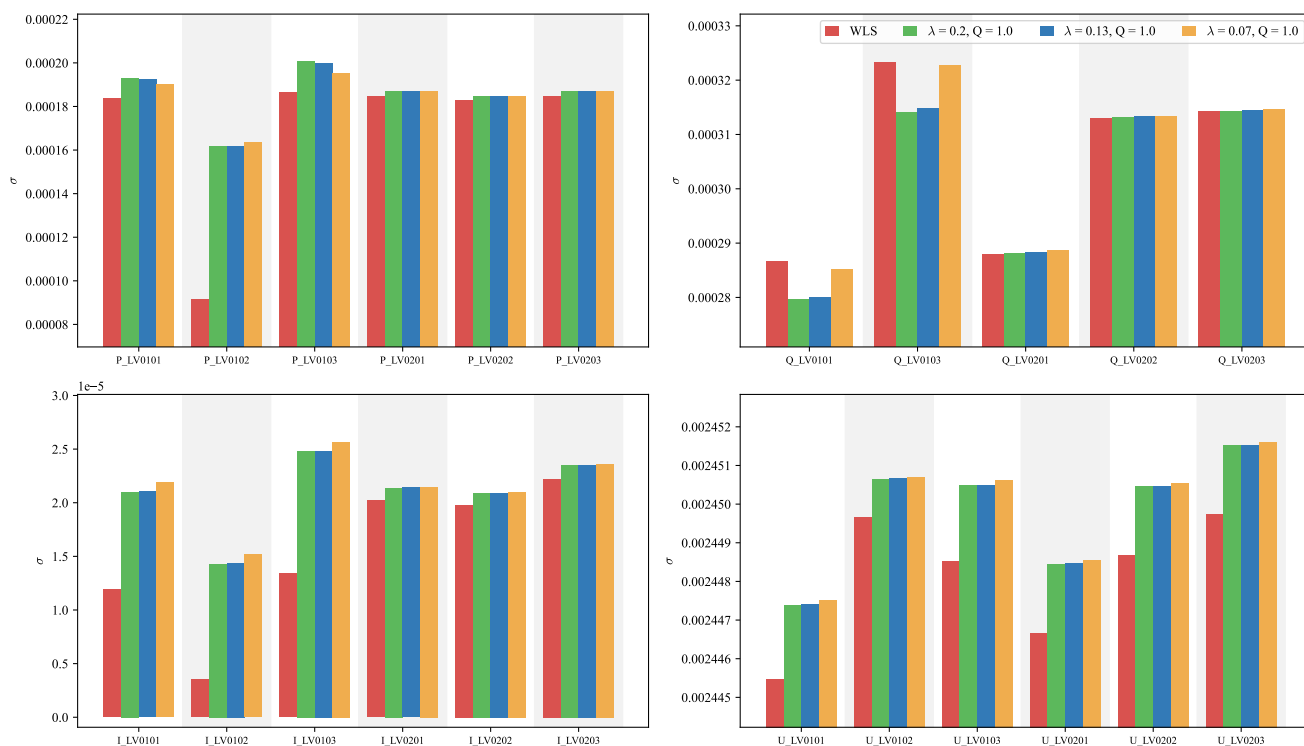


Figure 27: Comparativa entre las desviaciones típicas de las soluciones para WLS y Huber (con diferentes valores de lambda). Magnitudes medidas en baja tensión.

16 Ataque en I_LV0103

Se ataca el valor de I_LV0103 multiplicando su medida por 1.5.

WLS descarta ['Q_LV0103', 'Q_POIMV_MV0101', 'I_POIMV_MV0101', 'I_POI_POIMV']

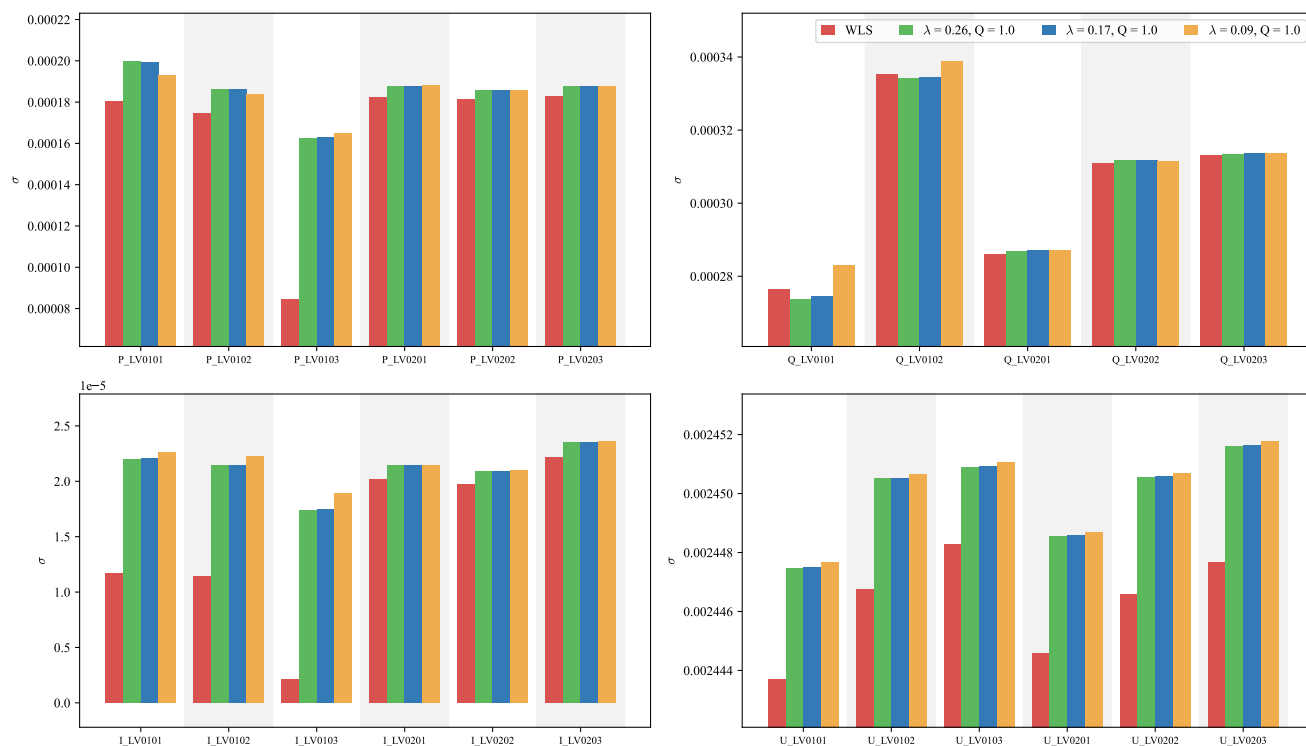


Figure 28: Comparativa entre las desviaciones típicas de las soluciones para WLS y Huber (con diferentes valores de lambda). Magnitudes medidas en baja tensión.

17 Ataque en I_LV0201

Se ataca el valor de I_LV0201 multiplicando su medida por 1.5.

WLS descarta ['Q_LV0201', 'Q_POIMV_MV0201', 'I_POIMV_MV0201', 'I_POI_POIMV']

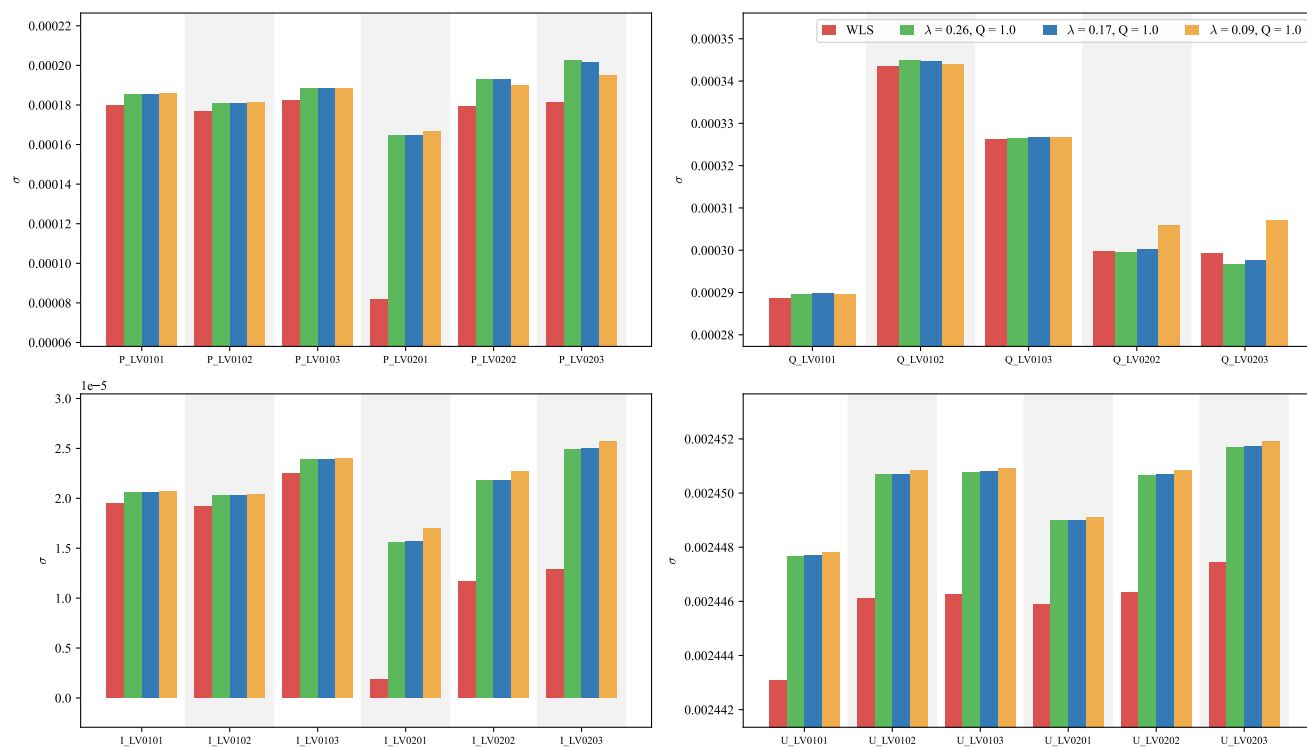


Figure 29: Comparativa entre las desviaciones típicas de las soluciones para WLS y Huber (con diferentes valores de lambda). Magnitudes medidas en baja tensión.

18 Ataque en I_LV0202

Se ataca el valor de I_LV0202 multiplicando su medida por 1.5.

WLS descarta ['Q_LV0202', 'I_POIMV_MV0201', 'I_POI_POIMV']

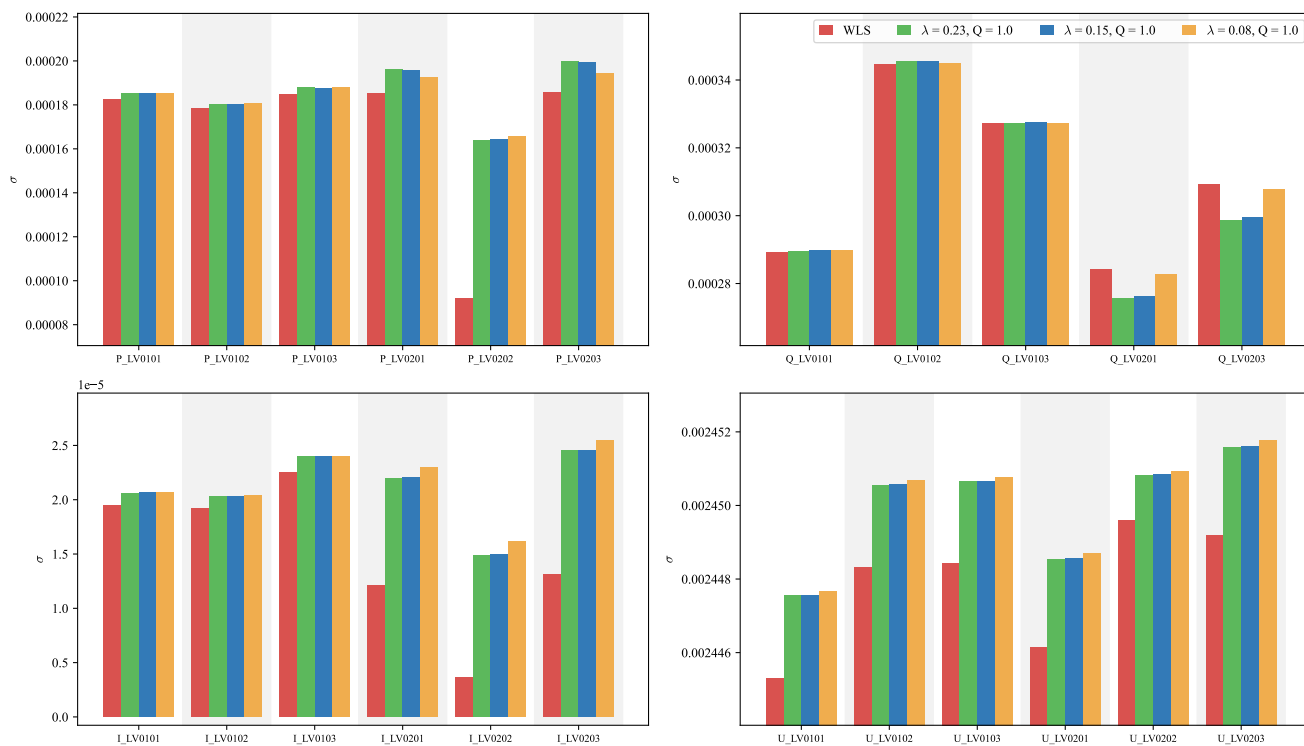


Figure 30: Comparativa entre las desviaciones típicas de las soluciones para WLS y Huber (con diferentes valores de lambda). Magnitudes medidas en baja tensión.

19 Ataque en I_LV0203

Se ataca el valor de I_LV0203 multiplicando su medida por 1.5.

WLS descarta ['Q_LV0203', 'Q_POIMV_MV0201', 'I_POIMV_MV0201', 'I_POI_POIMV']

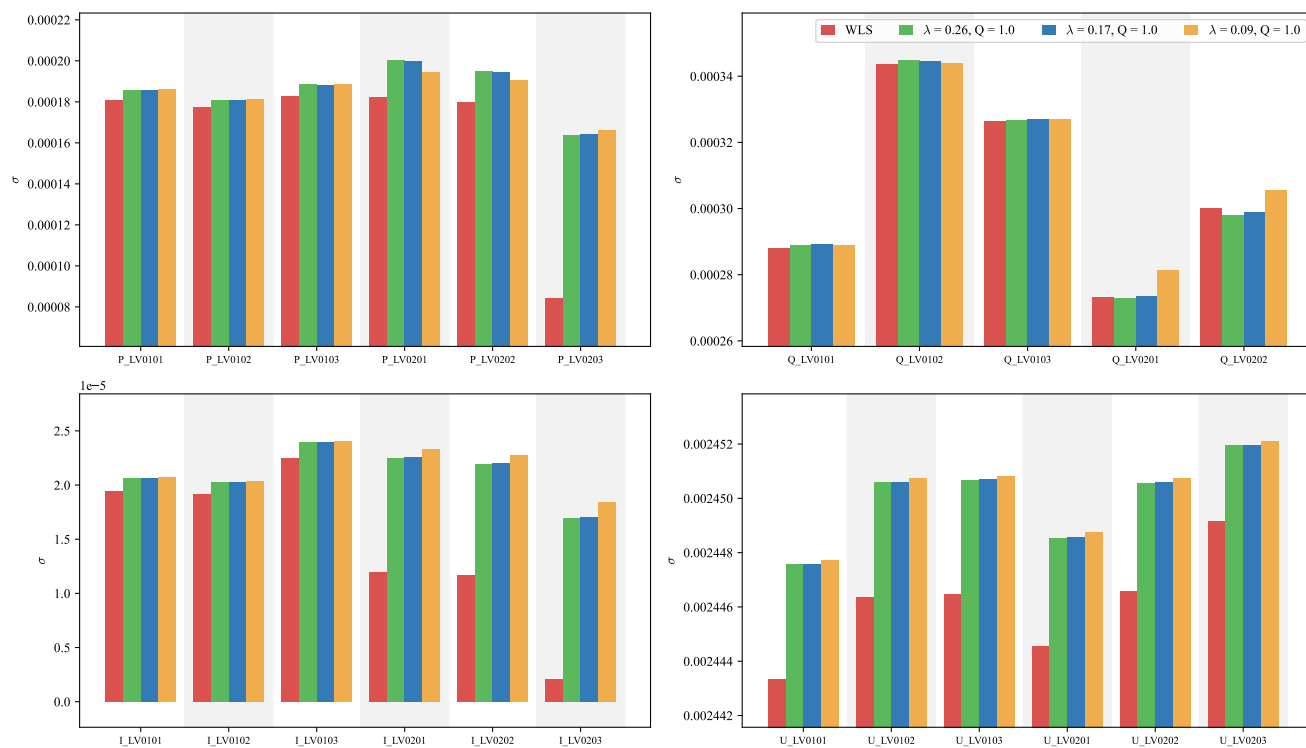


Figure 31: Comparativa entre las desviaciones típicas de las soluciones para WLS y Huber (con diferentes valores de lambda). Magnitudes medidas en baja tensión.